



ИНФОРМАЦИОННОЕ ВОЗДЕЙСТВИЕ НА СТРУКТУРУ ВОДЫ

Изучено мысленное воздействие на структуру воды различного происхождения методом светорассеяния лазерного излучения. Установлено, что воздействие приводит к изменению набора кластеров, их размеров, концентрации и степени полидисперсности воды. Характер и степень этого изменения определяются содержанием воздействующей информации и прежним информационным загрязнением воды.

Экспериментальные результаты связываются с действием волнового торсионного поля, создаваемого мыслями и эмоциями, на пространственную ориентацию спинов четырёхвалентных атомов кислорода, входящих в состав кластеров.

Установлено также, что механизм влияния статического торсионного поля на структуру воды подобен механизму воздействия волнового торсионного поля.

Введение. Известно [1-3], что вода обладает структурностью, которую она изменяет под влиянием различных воздействий. Согласно [4], в формировании структуры воды определяющую роль играет информационный фактор взаимодействия, заключающийся в том, что характер воздействия обуславливает тип структурности воды (ансамбль кластеров, их размеры и форму, концентрацию), соответствующий данному воздействию. В конкретных значениях и виде указанных характеристик структуры кодируется информация об этом воздействии. В зависимости от интенсивности и длительности воздействия формирование нового структурного состояния сопровождается частичным или полным разрушением прежней структуры, т.е. происходит переструктуризация, в результате чего пропорционально её степени изменяются межмолекулярные взаимодействия, физико-химические и биологические свойства воды.

Указанный механизм информационного фактора взаимодействия подтверждается экспериментальными исследованиями влияния на структуру воды физических полей – электромагнитного миллиметрового [2] и дециметрового [5] диапазонов, а также постоянного магнитного поля [6]. При этом определяющий вклад в переструктуризацию воды связывается с влиянием силовой компоненты полей – напряженности на колебательный и ориентационный характер движения гексагональных фрагментов структуры льда и кластеров соответственно.

В работе [3] показано, что вода способна впитывать, хранить и передавать человеческие мысли и эмоции посредством изменения своей структуры. Поскольку мысли и эмоции имеют неэлектрическую и немагнитную природу и поэтому не содержат характерной для физических полей силовой компоненты, представляет интерес выяснение механизма информационного фактора взаимодействия их с водой. С этой целью в настоящей работе с помощью метода светорассеяния [7] проведено изучение мысленного воздействия на структурные свойства воды различного происхождения.

Методика эксперимента

Для исследования были отобраны образцы воды: водопроводной, очищенной угольным фильтром, дистиллированной и ключевой (из Киево-Печерской Лавры). Угловые зависимости интенсивности рассеянного света $I(Q)$ – индикаторы рассеяния исследуемых образцов воды измерялись в передней полуплоскости по направлению распространения падающего луча в интервале углов рассеяния $4^\circ \leq Q \leq 90^\circ$ с шагом 2° при различных интенсивностях падающего излучения J . В качестве источника излучения использовался полупроводниковый лазер с $\lambda \approx 0,65 \text{ мкм}$, диаметром луча 3мм и мощностью излучения $P < 1 \text{ мВт}$ (лазерная указка) [7].

Из измеренных индикаторов определялись набор (ансамбль) и размеры кластеров, их относительные концентрации, а также степень изменения этих параметров после воздействия. Ансамбль и размеры кластеров с радиусами $r \leq 2 \text{ мкм}$ определялись по угловым положениям максимумов на расчётных зависимостях

$$Q^2 I(Q) = f(Q) \quad (1)$$

рассмотренным в [7] способом. Размеры кластеров с $r > 2 \text{ мкм}$ оценивались по величинам углового интервала между периодическими осцилляциями I на кривых $I(Q)$ и (1) в интервале углов $20^\circ < Q < 60^\circ$, связанными с интерференцией дифрагированных на кластерах и преломленных ими лучей [8]. Степень изменения суммарной концентрации кластеров всех размеров N_Σ устанавливались по отношению интегральной интенсивности рассеянного света после воздействия $I_{\Sigma b}$ к исходной $I_{\Sigma \text{исх}}$. Значение интегральной интенсивности рассеянного света I_Σ , численно равное площади под кривой $I(Q)$, в предположении однократного рассеяния может быть представлено в виде [6]:



$$I_{\Sigma} = \sum_i \beta N_i r_i JV \quad (2)$$

где β – коэффициент, учитывающий угловую апертуру фотоприёмника и его спектральную чувствительность, N_i , r_i – концентрация и радиус кластеров i -го типа, V – объём освещаемой воды, i – номер типа (размера) кластера.*

степень изменения концентраций кластеров отдельных размеров определялась по расчётным значениям относительных индикатрис рассеяния $R(Q)$ для каждого случая воздействия, представляющих собой отношение измеренных индикатрис рассеяния одной и той же пробы после ($I(Q)_b$) и до ($I(Q)_{\text{исх}}$) воздействия[6]:

$$R(Q) = \frac{I(Q)_b}{I(Q)_{\text{исх}}} \quad (3)$$

Более детальное описание установки для измерения зависимостей $I(Q)$, методик измерения и обработки данных представлено в [7,8].

Информационное воздействие оказывалось одновременно на все три пробы отобранных образцов воды в течении 10 минут. Для этого стеклянные кюветы с пробами воды после предварительного измерения их исходных индикатрис $I(Q)_{\text{исх}}$ помещались перед экспериментатором на расстоянии $\sim 35\text{ см}$ и мысленно многократно «произносилась» каноническая молитва в течение указанного времени (далее – положительное воздействие). После окончания воздействия повторно измерялись зависимости $I(Q)_b$.

Мысленное воздействие адресными отрицательными эмоциями (ненависти, гнева, осуждения и т.п.) (далее – негативное воздействие) и изучение его влияния проводились аналогично исследованию положительного воздействия.

Кроме негативного мысленного воздействия изучалось также дистанционное воздействие сыворотки крови инфарктного больного на структуру воды. С этой целью две стеклянные кюветы заполнялись одной и той же исходной водопроводной неочищенной водой с удельным сопротивлением $\rho=4\text{k}\Omega \cdot \text{см}$. Одна из этих кювет помещалась вблизи кюветы, содержащей сыворотку с предварительно измеренной индикатрией рассеяния, не соприкасаясь с последней. В настоящем эксперименте, в отличие от методики Фолля перезаписи лечебных свойств лекарства на воду, в которой между двумя кюветами, одна из которых содержала раствор лекарства, а другая – дистиллированную воду, использовалась механическая связь, с помощью медного провода или оптоволокна, такая связь не применялась. Контрольная пробы воды помещалась на расстоянии 3м от кюветы с сывороткой. После выдержки в течении 3 часов измерялись индикатрицы рассеяния контрольной пробы воды и пробы, находящейся возле кюветы с сывороткой.

Экспериментальные результаты

Пробы исходной воды различного происхождения характеризовались плавными спадающими с увеличением угла рассеяния зависимостями $I(Q)$ (рис.1). Согласно [9,10], наблюдаемая форма индикатрис рассеяния в малоугловой области ($Q<20^\circ$) обусловлена дифракцией падающего излучения на крупно-и среднемасштабных кластерах с $r > 0,5\text{мкм}$, а в области больших углов рассеяния – рассеянием на средне – и мелкомасштабных кластерах с $r < 0,5\text{мкм}$ частично за счёт дифракции, а также в результате отражения, роль которого возрастает с увеличением Q .

В таблице 1 приведены размеры рассеивающих кластеров проб исходной воды, из которой видно, что наибольшей степенью полидисперсности **) обладала ключевая вода, в ансамбле кластеров которой доминировали мелкомасштабные кластеры с $r < 0,4\text{мкм}$.

Мысленное воздействие на структуру воды проявлялось в изменении ансамбля кластеров, их размеров и концентрации.

Из приведённых на рис.2 относительных индикатрис рассеяния и размеров кластеров, наблюдавшихся после воздействия (таблица 1), видно, что положительное воздействие обуславливало

*) В настоящей работе изменение I_{Σ} в результате воздействия обусловлено только изменением суммарной концентрации кластеров $N_{\Sigma} = \sum_i N_i$, поскольку множители β , J, V в (2) остаются постоянными при измерениях $I(Q)_{\text{исх}}$ и $I(Q)_b$, а изменение их размеров r_i после воздействия, как показано ниже, является обратным изменению I_{Σ} .

**) Под степенью полидисперсности здесь подразумевается количество типов кластеров, отличающихся размерами.

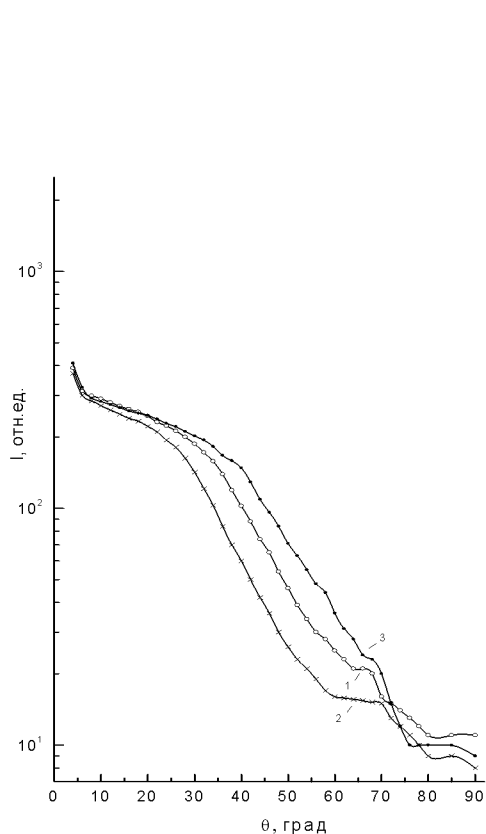


Рис. 1 Индикаторы рассеяния проб исходной водопроводной (1), дистиллированной (2) и ключевой (3) воды.

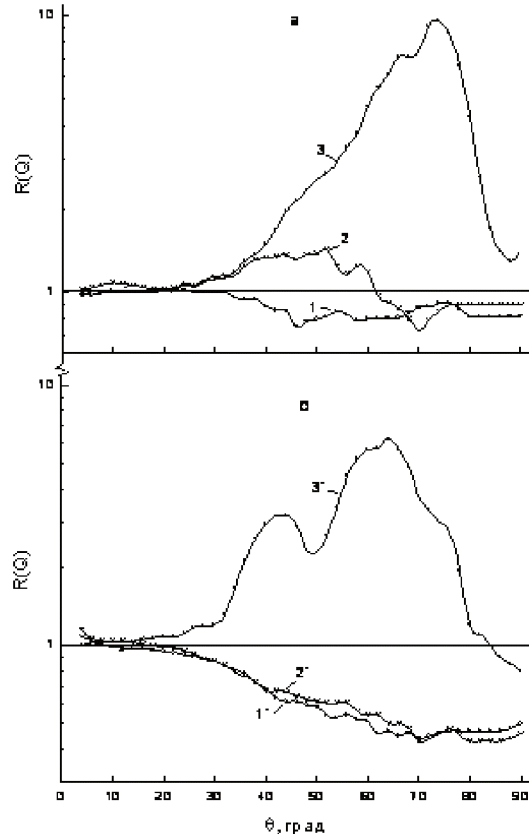


Рис. 2 Относительные индикаторы рассеяния проб водопроводной (1, 1'), дистиллированной (2, 2') и ключевой (3, 3') воды после положительного (а) и негативного (б) мысленного воздействия.

появление в дистиллированной и ключевой водах крупных ($r > 0,95\text{мкм}$) кластеров. Однако, значения $R \rightarrow 1$ в угловом интервале $Q \leq 20^\circ$ (рис.2а) свидетельствуют о крайне малой их концентрации. Основное влияние положительное воздействие оказывало на мелкомасштабную составляющую ансамблей всех образцов вод, причём его характер существенно зависел от происхождения воды. Так, в водопроводной воде происходило уменьшение на $\sim 25\%$ концентрации мелкомасштабных кластеров с $r \leq 0,32\text{мкм}$, что уменьшало суммарную концентрацию кластеров на $2,5\%$; в дистиллированной воде – возрастание на $\sim 40\%$ концентрации кластеров в интервале радиусов $0,15\text{мкм} \leq r \leq 0,30\text{мкм}$, уменьшение её на $\sim 25\%$ для кластеров с $r < 0,15 \text{ мкм}$ (рис.2а) и низменность N_Σ (таблица 1).

Таблица 1. Параметры светорассеяния воды

| Образец воды | Состояние пробы | $r, \text{мкм}$ | $I_\Sigma, \%$ |
|------------------|-----------------|--|----------------|
| Водопроводная | 0 | 0,83; 0,56; 0,48; 0,38; 0,32; 0,27 | 100 |
| | + | 0,83; 0,58; 0,48; 0,40; 0,29 | 97,4 |
| | - | 4,45-6,7; 1,19; 0,68; 0,48; 0,27 | 89 |
| Дистиллированная | 0 | 0,77; 0,49; 0,33; 0,29 | 100 |
| | + | 1,06; 0,79; 0,48; 0,32; 0,24 | 101,1 |
| | - | 2,75-3,46; 1,46; 0,95; 0,68; 0,48; 0,31 | 90,7 |
| Ключевая | 0 | 0,95; 0,48; 0,40; 0,32; 0,28; 0,24; 0,21 | 100 |
| | + | 1,58; 0,79; 0,49; 0,32; 0,23; 0,20; 0,16; 0,15; 0,14; 0,13 | 118,4 |
| | - | 1,58; 0,79; 0,53; 0,37; 0,25; 0,16; 0,15; 0,13 | 111,3 |

Примечания:

1. В графе «Состояние пробы» символами 0, + и – условно обозначены состояния проб исходной воды(0), после положительного (+) и отрицательного (-) воздействий.

2. В графике $I_\Sigma, \%$ величина интегральной интенсивности рассеяния исходной воды каждого происхождения принималась равной 100 %

Максимальный эффект положительного воздействия наблюдался в ключевой воде, в которой имело место формирование большой концентрации мелкомасштабных кластеров с $r < 0,4\text{мкм}$ различных

размеров, отличных от наблюдаемых в исходном ансамбле, в том числе более мелких и увеличение вследствие этого степени полидисперсности. Из рис.2а видно, что концентрация формируемых мелкомасштабных кластеров обратно пропорционально зависела от их размеров. Так, значение N наиболее мелких кластеров с $r \approx 0,13$ мкм возрастало практически на порядок. Суммарная концентрация кластеров возрастала на $\sim 18,5\%$.

Негативное воздействие приводило к формированию в водопроводной и дистиллированной водах сверхкрупных ($r > 2$ мкм) и крупных ($r > 0,95$ мкм) кластеров в малых концентрациях, уменьшению концентраций средне-и мелкомасштабных кластеров, степень которого возрастала с увеличением угла рассеяния в интервале $Q > 15^\circ$, как следует из характера зависимостей $R(Q)$ этих проб (рис.2б). Размеры кластеров после воздействия возрастили по сравнению с наблюдаемыми в исходных пробах. Суммарная концентрация кластеров N_Σ в указанных водах уменьшалась приблизительно на 10%.

Максимальный эффект негативного воздействия наблюдался в ключевой воде и заключался в формировании средне – и мелкомасштабных кластеров больших размеров, меньших степени полидисперсности и суммарной концентрации кластеров N_Σ , чем при положительном воздействии (рис.2б, таблица 1).

Результаты изучения влияния сыворотки крови больного на структуру воды представлены на рис.3 и в таблице 2. Из рисунка видно, что индикатрисы рассеяния контрольной и подвергнутой воздействию проб воды существенно отличались*).

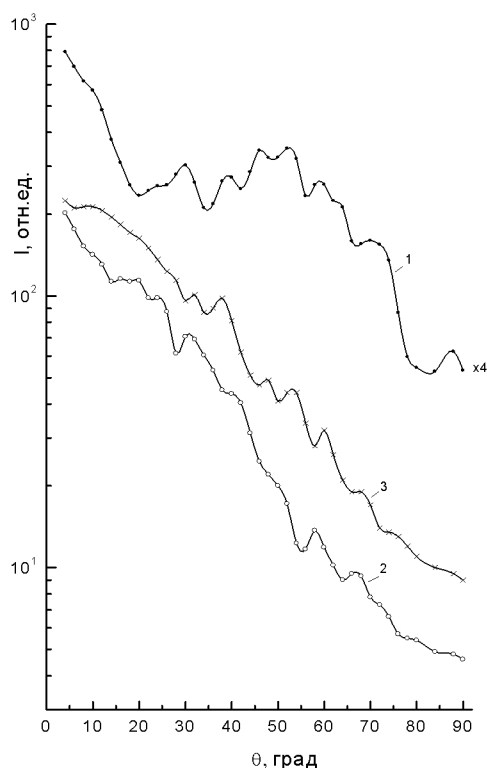


Рис.3. Индикатрисы рассеяния водопроводной воды исходной (1) и после воздействия на неё сыворотки (2), а также самой сыворотки (3).

Таблица2. Параметры светорассеяния водопроводной воды и сыворотки крови

| Проба | r , мкм | I_Σ , отн. Ед |
|------------------------|---|----------------------|
| Вода контрольная | 4,0-6,7; 1,19; 0,68; ~0,23-0,28; ~0,15-0,17 | 7410 |
| Вода после воздействия | 4,0-5,4; 1,36; ~0,70-0,73; 0,23-0,32 | 6110 |
| Сыворотка крови | 4,0-6,7; 0,76; 0,19-0,28 | 7200 |

*) Периодические осцилляции интенсивности рассеянного света на индикатрисах 1-3 рис.3 свидетельствуют о наличии во всех измеренных пробах сверхкрупных кластеров [8], размеры которых приведены в таблице 2.

Проба, подвергнутая воздействию сыворотки, не содержала наиболее мелких кластеров с $r \leq 0,17$ мкм, присутствовавших в контрольной пробе. Интегральная интенсивность рассеяния этой пробы была меньше на $\sim 18\%$ значений I_Σ контрольной пробы и сыворотки (таблица 2), а форма её индикатрисы, за исключением малоугловой области ($Q \leq 10^\circ$), хорошо коррелировала с формой индикатрисы



сыворотки. Подобие форм кривых 2 и 3 на рис.3 и идентичность наборов средних и мелких кластеров соответствующих проб свидетельствуют о приобретении водой структуры, подобной структуре сыворотки, а следовательно, о перезаписи информации из сыворотки больного на воду.

Обсуждение результатов

Из приведенных данных следует, что мысленное воздействие посредством поля изменяет структуру воды. Природа этого поля не является электрической, магнитной или электромагнитной. Согласно [11,12], физическим носителем сознания, мышления и эмоций является волновое торсионное поле, обусловленное спиновой поляризацией окружающего пространства (физического вакуума). Указанные аспекты человеческой психики могут быть представлены в виде устойчивых полевых образований – различных (в зависимости от характера информационного или эмоционального содержания) пространственных спиновых конфигураций – торсионных солитонов, излучаемых человеком.

Предполагается, что механизм влияния торсионных солитонов на структуру воды сводится к следующему. В [2] показано, что атом кислорода молекулы воды в газовой фазе является двухвалентным, а в твёрдой и жидкой фазах – четырёхвалентным, что связано с изменением его электронной структуры, а именно – переходом из состояния p^2 в состояние sp^3 , обусловленным возбуждением одного из двух p^2 электронов в 3s – состояние и в итоге содержащем 4 электрона с нескомпенсированными спинами. На основе проведенного в [2] рассмотрения фазово-агрегатных превращений воды с учётом её термодинамических параметров (значений теплот плавления, испарения, энергий ковалентной и водородной связей) установлено, что в жидкой воде наряду с несвязанными (отдельными) молекулами воды содержатся гексагональные фрагменты структуры льда (H_2O)₆, из которых формируются кластеры. Кластеры представляют собой объёмную сетку связанных между собой плоскостей, образованных гексагональными фрагментами (кольцами).

Торсионные солитоны осуществляют переориентацию спинов атомов кислорода этих колец в случае, когда их исходная пространственная ориентация не соответствует спиновой конфигурации солитонов. При этом осуществляется разворот каждого из атомов на определённый угол относительно первоначального положения, что приводит к нарушению геометрической конфигурации (изменению углов и длин) водородных связей как внутри колец, так и между соседними кольцами, что может привести к их разрыву, обуславливающему в начальный период воздействия разрушение кластеров, содержащих прежнюю информацию. Этот период воздействия можно трактовать как фазу стирания. В процессе дальнейшего воздействия происходит формирование новых кластеров с уже переориентированными спинами атомов кислорода в соответствии со спиновой конфигурацией торсионного поля. Этот период воздействия можно трактовать как фазу записи.

Из полученных данных следует, что скорость и степень стирания старой и записи новой информации в кластерной структуре воды существенно зависят от её происхождения. Полагается, что основными факторами, определяющими эти параметры информационного воздействия, могут быть химический состав и прежнее информационное содержание воды. О вкладе первого фактора в скорость и степень перезаписи судили по значениям удельного сопротивления ρ проб исходной водопроводной, дистиллированной и ключевой воды, измеренного кондуктометрическим методом и равным 5; 300 и 7кОм · см соответственно. Полученные значения ρ указывают, что химический состав воды не является определяющим.

В работе [3] показано, что информационный аспект структуры воды проявляется в форме кластеров – в воде, содержащей негативную информацию, кластеры имеют форму приближающуюся к сферической, либо являются бесформенными; в воде с положительной информацией кластеры являются, как правило, многоугольниками правильной, симметричной геометрической формы. Проведенные нами исследования трёхмерной формы кластеров воды [13] подтверждают данную трансформацию их формы в ряду: водопроводная – дистиллированная – ключевая и свидетельствуют о том, что испытуемая водопроводная вода является наиболее загрязнённой, а ключевая – практически незагрязнённой информационно.

В соответствии с этим, при положительном воздействии скорость и степень перезаписи информации были наименьшими в водопроводной воде, в которой процесс воздействия содержал практически только фазу стирания. В дистиллированной воде скорость перезаписи возросла, так как кроме незначительной фазы стирания имела место фаза записи. Наибольшая скорость и степень перезаписи имели место в ключевой воде, в которой весь процесс воздействия состоял фактически из фазы записи информации.

Следует заметить, что незначительность эффекта положительного воздействия на водопроводную и дистиллированную воду, по-видимому, обусловлена более крупнозернистой структурой исходных образцов. Предполагается, что с увеличением размера кластеров их механическая прочность возрастает в результате формирования внутренних плоскостей, количество которых увеличивается пропорционально размеру, и энергии поля может быть недостаточно для их разрушения. Очевидно, именно по этой причине крупные кластеры практически не разрушались в процессе воздействия.

При негативном воздействии в водопроводной и дистиллированной водах происходило разрушение кластеров, спиновая ориентация атомов кислорода которых не соответствовала таковой



торсионных волн, что привело к уменьшению суммарной концентрации кластеров N_{Σ} . Фаза записи заключалась в формировании сверхкрупных и крупных кластеров, а также в укрупнении средних и мелких кластеров из фрагментов разрушенных и сориентированных в соответствии со спиновой конфигурацией воздействующих солитонов путём их сращивания с другими кластерами и между собой.

В ключевой воде фаза стирания практически отсутствовала, а фаза записи информации заключалась в формировании крупных, средних и мелких кластеров, отсутствующих в исходной воде и укрупнении кластеров, содержащихся в ней, за счёт свободных гексагональных фрагментов с упорядоченной спиновой ориентацией атомов кислорода, формируемых, по-видимому, также в процессе воздействия.

Механизм изменения структуры воды под влиянием находящейся рядом сыворотки подобен имеющему место при мысленном воздействии. В данном случае переориентацию спинов атомов кислорода кластеров воды осуществляет статическое торсионное поле сыворотки, сформированное в её структуре характером патологии и степенью её тяжести.

В заключение следует отметить, что ориентационный характер действия торсионного поля на структуру воды совпадает с рассмотренными механизмами влияния электромагнитного [5] и постоянного магнитного [6] полей, которые также заключаются в переориентации кластеров. Учитывая наличие в магнитном поле, постоянном или являющемся частью электромагнитного, торсионной компоненты [12], можно заключить, что механизм воздействия магнитного поля на структуру воды фактически является комплексным, состоящим из собственно магнитной и торсионной составляющих.

Выводы: 1. Экспериментально установлено мысленное воздействие на параметры структуры воды (размеры и концентрацию кластеров, степень её полидисперсности) посредством поля неэлектромагнитной природы. Полагается, что таковым является волновое торсионное поле.

2. Предполагаемый механизм мысленного воздействия на структуру воды заключается в переориентации спинов четырёхвалентных атомов кислорода кластеров, не соответствующих спиновой конфигурации торсионовых волн, что, с одной стороны, обуславливает разрушение кластеров и стирание прежней информации, а с другой стороны – формирование новых кластеров с упорядоченной спиновой ориентацией кластерных атомов кислорода, соответствующей спиновой конфигурации воздействующих волн, осуществляя таким образом запись содержащейся в них информации в структуру воды.

3. Экспериментально установлено, что механизм воздействия статического торсионного поля на структуру воды является подобным механизму воздействия волнового торсионного поля.

ЛИТЕРАТУРА:

1. Зенин С.В., Полануэр Б.М., Тяглов Б.В. Экспериментальное доказательство наличия фракций воды. – Гомеопатическая медицина и акупунктура. 1997, №2, с 37-42.
2. Синицын Н.И., Петросян В.И., Елкин В.А., Девятов Н.Д., Гуляев Ю.В., Бецкий О.В. Особая роль системы «миллиметровые волны – водная среда» в природе. – Биомедицинская радиоэлектроника. 1998, №1, с.5-23
3. Эмото Масару. Послания воды: тайные коды кристаллов льда. М., «София», 2005, 96 с.
4. Мосин О.В. Вода и ее структура. – Журнал «Самиздат». URL: http://zhurnal.lib.ru/o/oleg_w_m/cdocumentsand_settingsolegmosinmoidokumentysrediwsehweshestwimejushih-sjnazemlertf.shtml
5. Коваленко В.Ф., Глазкова В.В., Шутов С.В. О механизме влияния ЭМИ дециметрового диапазона на структуру воды.- Биомедицинская радиоэлектроника. 2011, №12, с.28-36.
6. Kovalenko V.F., Bordyuk A.Yu and Shutov S.V. Light scattering of water under magnetic field. – Ukr.J.Phys.Opt. 2010, v.11, №1, p 6.-20.
7. Коваленко В.Ф., Левченко П.Г., Шутов С.В. Кластерная природа светорассеяния воды. - Биомедицинская радиоэлектроника, 2008, №5, с 36-45.
8. Коваленко В.Ф., Шутов С.В., Бордюк А.Ю. Интерференционные эффекты в светорассеянии биологических жидкостей. - Биомедицинская радиоэлектроника, 2009, №8, с 71-78.
9. Ван де Хюлст. Рассеяние света малыми частицами. – 1961, ИЛ, 536 с.
10. Безрукова А.Г., Владимирская И.К. Информативность параметров светорассеяния при исследовании клеток. – Цитология, 1982, т.27, №5, с.507-521.
11. Шипов Г.И. Теория физического вакуума. – 1993, М., НТ-Центр, 365 с.
12. Акимов А.Е. Эвристическое обсуждение проблемы поиска новых дальнодействий. EGS-концепции. – 1991, М., Препринт №7А, МНТЦ, 54 с.
13. Коваленко В.Ф., Бордюк А.Ю., Шутов С.В. Определение формы кластеров воды. – Оптика атмосферы и океана. 2011, т.24, №7, с.601-605.



биомедицинской электроники Херсонского национального технического университета.

Научные интересы:

- физика полупроводников
- структурно-информационные свойства воды.